

УДК 535.37

## ИЗЛУЧЕНИЕ ЭЛЕКТРОННО-ДЫРОЧНОЙ ПЛАЗМЫ В СИЛЬНО ВОЗБУЖДЕННЫХ ПЛЕНКАХ ZnTe/Al<sub>2</sub>O<sub>3</sub>

*В. С. Вавилов, А. А. Клюканов, Н. М. Павленко, Сабри Джасин Мухаммед,  
Э. А. Сенокосов, В. Г. Стойкова, М. В. Чукичев*

Исследованы спектры краевой катодолюминесценции (КЛ) эпитаксиальных пленок ZnTe/Al<sub>2</sub>O<sub>3</sub> в интервале температур 4.2—300 К и плотностей тока возбуждения 0.05—15 A/cm<sup>2</sup>. На основании анализа температурной эволюции спектров люминесценции (ЛМ) и их зависимости от уровня возбуждения установлено, что основным механизмом краевой излучательной рекомбинации в сильно возбужденных пленках ZnTe является излучение невырожденной электронно-дырочной плазмы (ЭДП). При плотностях тока возбуждения  $j \geq 10 \text{ A/cm}^2$  и решеточных температурах 30—110 К в излучении ЭДП наблюдается многоплазмонная структура. Развита теория многоплазмонной ЛМ с использованием флюктуационно-диссилиационной теоремы и проведено ее сравнение с экспериментом.

Излучательная рекомбинация при высоких уровнях возбуждения полупроводников является независимым методом диагностирования ЭДП [1]. Оптические переходы в ЭДП, происходящие с одновременным поглощением и излучением нескольких плазмонов, приводят к осцилляционной структуре полосы ЛМ [2, 3]. Как показано в работе [3], при высоких температурах ЭДП в длинноволновом приближении многоплазмонные оптические переходы являются прямыми, а полоса ЛМ состоит из суперпозиции максвелловских полос, отстоящих друг от друга на частоту плазмона  $\omega_p = (4\pi Ne^2/\epsilon_0\mu)^{1/2}$ , где  $N$  — концентрация электронно-дырочных пар в плазме,  $\epsilon_0$  — статическая диэлектрическая проницаемость,  $\mu = m_e m_h / M$  — приведенная масса электрона и дырки,  $M = m_e + m_h$ .

Температурная область проявления многоплазмонной структуры в ZnSe [2] определялась в основном условием существования плазменных волн  $\omega_p \tau > 1$ . Изменение механизмов рассеяния носителей заряда и связанного с ним времени релаксации  $\tau$  должно соответствующим образом влиять на температуру наблюдения многоплазмонной ЛМ. Для установления такой корреляции в данной работе изучались особенности краевой ЛМ в эпитаксиальных пленках ZnTe.

Кроме того, несмотря на удовлетворительное согласие экспериментальных данных с расчетами, теория [3] не является строго последовательной. Это связано с недостатками использованного в работе [3] метода колективных переменных Бома и Пайнса [4], в которой вводится  $n' = n^3/6\pi^2$  плазмонных координат, где  $\hbar \mathbf{x}_0$  — предельный импульс плазмона. Для того чтобы полное число степеней свободы не изменилось, на волновую функцию ЭДП накладываются дополнительные условия. Однако определить аналитически волновую функцию, удовлетворяющую дополнительным условиям, невозможно [4]. В связи с этим нами построена регулярная процедура расчета форм-функции спектра ЛМ с учетом кулоновского взаимодействия в ЭДП без использования метода колективных переменных и проведено ее сопоставление со спектрами излучения ЭДП в пленках ZnTe.

# 1. Экспериментальные результаты

Исследовались качественные монокристаллические пленки  $p$ -ZnTe толщиной 30–70 мкм, выращенные эпитаксией в квазизамкнутом объеме на (0001) подложках сапфира ( $\alpha$ - $\text{Al}_2\text{O}_3$ ). Подвижность дырок в них составляла  $\mu_p$  (300 К)=120 см<sup>2</sup>/В·с. ЛМ возбуждалась электронным пучком с длительностью импульса 0.5 мкс и частотой их следования 100 Гц. Плотность тока возбуждения изменялась в пределах 0.05–15 А/см<sup>2</sup>. Энергия электронного пучка была равной 40 кэВ. Температура измерения изменялась в интервале 4.2–300 К.

На рис. 1 представлены спектры краевой КЛ, снятые при 4.2 К и различных плотностях тока возбуждения. При низких температурах и средних уровнях возбуждения краевая ЛМ состоит из серии линий в экситонной области спектра (рис. 1, кривые 1–3). Основная полоса (2.373 эВ) шириной  $\approx 5 k_b T$  является результатом наложения двух линий:  $P_2$  (2.370 эВ) – линии экситон-экситонного взаимодействия и линии ЭПК  $I_1$  (2.3758 эВ) – экситона, локализованного на нейтральном акцепторе – вакансии цинка [5].  $A$ -линия свободных экситонов в состоянии  $n=1$  (2.381 эВ) из-за самопоглощения не проявляется. На длинноволновом спаде полосы имеются ее  $LO$ -фоновые повторения ( $E_{LO}=26$  мэВ):  $A-LO$  (2.345 эВ) и  $A-2LO$  (2.328 эВ).

С ростом  $j$  основная полоса (2.373 эВ) уширяется и смещается в длинно-

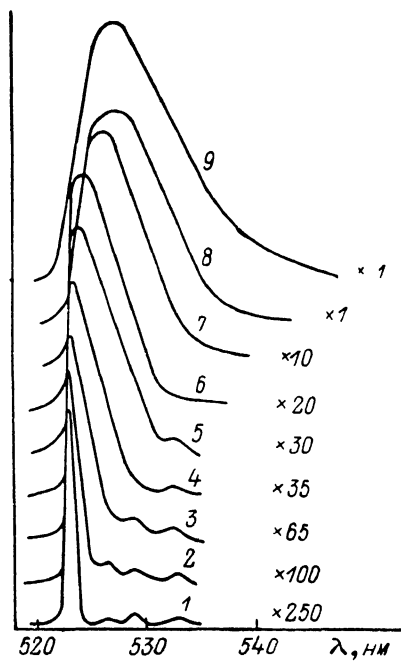


Рис. 1. Спектры излучения эпитаксиального слоя ZnTe/ $\text{Al}_2\text{O}_3$  при различных уровнях электронного возбуждения.  $T=4.2$  К,  $E=40$  кэВ.

$j$ , А/см<sup>2</sup>: 1 – 0.05, 2 – 0.2, 3 – 0.5, 4 – 1, 5 – 1.5, 6 – 2, 7 – 5, 8 – 10, 9 – 15.

волновую область спектра: положение ее максимума меняется от  $\hbar\omega = E_{ex}^{n=1} - \frac{3}{4}\Delta E_{ex} - 2k_b T = 2.370$  эВ для  $P_2$ -линии до значения  $\hbar\omega = E_{ex}^{n=1} - \Delta E_{ex} - 2k_b T = 2.367$  эВ для  $P_\infty$ -линии, где  $E_{ex}^{n=1}$  – энергия, соответствующая дну основной экситонной зоны;  $\Delta E_{ex}$  – энергия связи экситона. Коротковолновый край основной полосы слабо чувствителен к изменению уровня возбуждения, а длинноволновое крыло с его ростом становится более пологим. При  $j \geq 1.5$  А/см<sup>2</sup> эта полоса трансформируется в одну бесструктурную  $K$ -полосу, которая с дальнейшим ростом  $j$  сильно уширяется и смещается в длинноволновую область спектра (рис. 1, кривые 5–9). Интегральная интенсивность  $K$ -полосы растет с плотностью тока возбуждения по линейному закону.

Наблюдаемая перестройка спектров ЛМ в пленках ZnTe не связана с разогревом образцов при высоких уровнях возбуждения. При максимальной плотности тока возбуждения  $j=15$  А/см<sup>2</sup> их решеточная температура повышалась всего на 5 К. Как и в слоях ZnSe [2, 3],  $K$ -полоса краевой КЛ (рис. 2) связана с излучением ЭДП, образующейся из-за экранирования кулоновского взаимодействия электронно-дырочных ( $e-h$ ) пар при больших концентрациях и моттовского перехода «экситонный газ – ЭДП». Действительно, положение максимума  $K$ -полосы в спектре (вставка к рис. 2, 3) следует изменению с температурой ширины запрещенной зоны в ZnTe (кривая 1). Оно не совпадает со спектральным положением линий экситон-экситонного (кривые 3, 5) и экситон-дырочного

(кривая 2) взаимодействий. Сдвиг максимума  $K$ -полосы в область меньших энергий с ростом  $j$  объясняется уменьшением ширины запрещенной зоны ZnTe в ЭДП по сравнению с ее величиной в одноэлектронном приближении. Во-вторых, коротковолновый спад  $K$ -полосы является экспоненциальным. Температура ЭДП возрастала с ростом плотности тока: при  $j=15 \text{ A/cm}^2$  и температуре решетки 9 К температура плазмы была равной  $T_e \approx 130 \text{ K}$ .

Осцилляционная структура  $K$ -полосы (рис. 2) наблюдалась в относительно широком по сравнению с ZnSe [2] интервале решеточных тем-

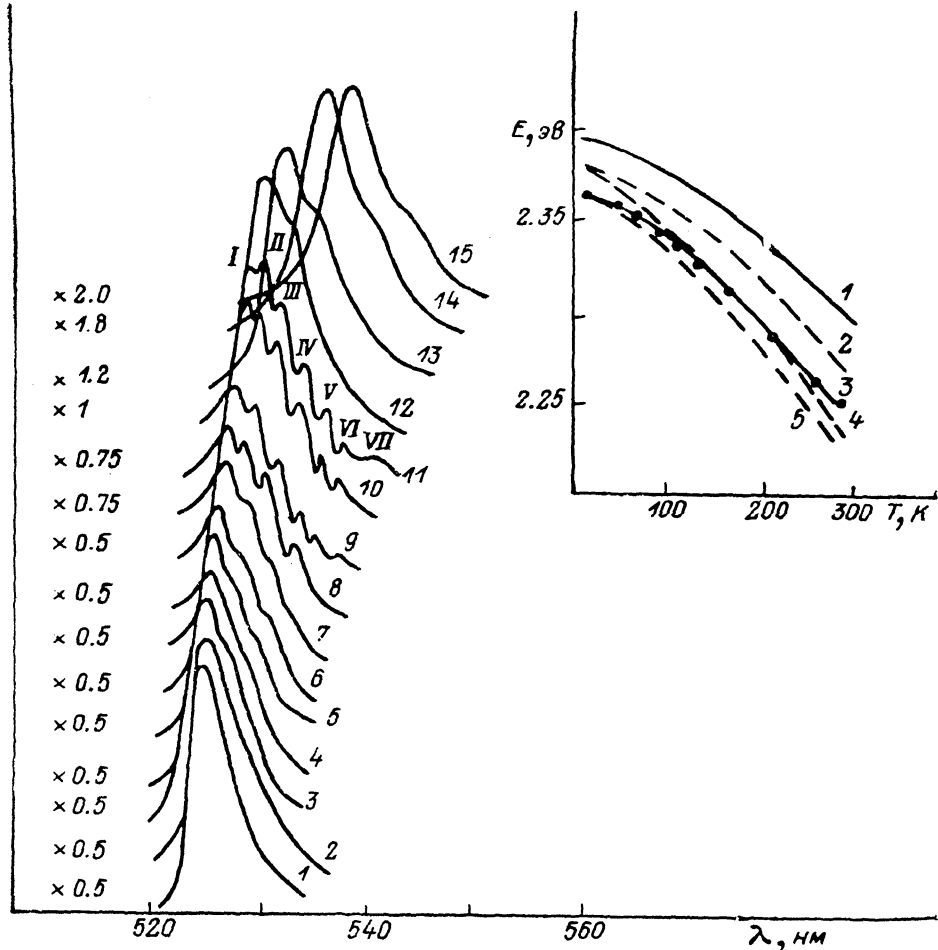


Рис. 2. Спектры излучения эпитаксиального слоя ZnTe/Al<sub>2</sub>O<sub>3</sub> при  $j=15 \text{ A/cm}^2$ ,  $E=40 \text{ кэВ}$  и различных температурах образца.

$T, \text{ K}: 1 - 4.2, 2 - 16, 3 - 30, 4 - 40, 5 - 50, 6 - 60, 7 - 70, 8 - 75, 9 - 85, 10 - 100, 11 - 110, 12 - 120, 13 - 140, 14 - 170, 15 - 200$ . На вставке — температурная зависимость энергетического положения ширины запрещенной зоны в ZnTe (1), линии аксон-электронного взаимодействия (2),  $P_2$ - и  $P$ -линий аксон-аксонного взаимодействия (3, 5), ЭДП (4).

ператур  $T=30 \div 110 \text{ K}$ . Как и в слоях ZnSe [2], она, по нашему мнению, связана с многоплазмонными переходами. Энергия плазмона, определенная по расстоянию между сателлитами, составляла  $\hbar\omega_p = 7 \div 8 \text{ мэВ}$ . В исследованной области температур она слабо зависела от  $T$ . Интерференционная природа осцилляционной структуры исключена. При интерференции расстояние между сателлитами  $\Delta\lambda$  определяет ее порядок  $k = \lambda/\Delta\lambda$ , а условие образования интерференционных максимумов  $2nd = k\lambda$  должно выполняться при  $\Delta\lambda = \lambda^{2/3}/(2nd)$ , где  $n$  — показатель преломления,  $d$  — толщина пленки. Однако расстояние между пиками осцилляционной структуры в пленках ZnTe не зависит от их толщины. Кроме того, величина  $d = \lambda^2/(2n\Delta\lambda) \approx 20 \text{ мкм}$  меньше толщины исследован-

ных пленок. Осцилляции также не связаны с многомодовой структурой, так как использовались пленки без плоскопараллельных граней и с развитым рельефом поверхности.

## 2. Ф о р м - ф у н к ц и я с п е к т р а м н о г о п л а з м о н о г о излучения ЭДП

Излучение света в невырожденной ЭДП прямозонных полупроводников в соответствии с формулой Кубо [6] описывается форм-функцией

$$F(\omega) = \exp\left(-\frac{\hbar\omega}{k_0 T_e}\right) \sum_{\mathbf{k}} \int_{-\infty}^{\infty} I_k(t) \exp[-i(\omega - \omega_g - \omega_k)t] dt, \quad (1)$$

где  $\hbar\omega_g = E_g$  — ширина запрещенной зоны,  $\omega$  — частота света. Матричные элементы производящей функции

$$I_k(t) = \left\langle \mathbf{k} \left| \left\langle T \exp \left\{ \frac{i}{\hbar} \int_0^t V(t_1) dt_1 \right\} \right\rangle \right| \mathbf{k} \right\rangle \quad (2)$$

вычисляются на собственных функциях ЭДП

$$|\mathbf{k}\rangle = \exp(i\mathbf{k} \cdot \mathbf{r}_e - \mathbf{r}_h), \quad \omega_{\mathbf{k}} = \omega_{\mathbf{k}}^e + \omega_{\mathbf{k}}^h, \quad \omega_{\mathbf{k}}^e, h = \hbar k^2 / 2m_e, h, \quad (3)$$

где  $\mathbf{r}_e$ ,  $\mathbf{r}_h$  — радиус-векторы электронно-дырочной пары, объем кристалла принят равным единице. Усреднение оператора эволюции в формуле (2) производится на равновесной матрице плотности двухкомпонентной изотермической плазмы с гамильтонианом  $\hat{H}$

$$\langle A \rangle = \text{Sp}\{\hat{\rho}A\}, \quad \hat{\rho} = \exp(-\hat{H}\lambda)/\text{Sp}\{\exp(-\hat{H}\lambda)\}, \quad \lambda = 1/k_0 T_e. \quad (4)$$

Кулоновское взаимодействие  $e-h$  пары в ЭДП имеет вид

$$V = \sum_{\mathbf{x}} \rho_{\mathbf{x}} \varphi_{\mathbf{x}}, \quad \rho_{\mathbf{x}} = e \sum_n [\exp(i\mathbf{x}\mathbf{r}_n^h) - \exp(i\mathbf{x}\mathbf{r}_n^e)],$$

$$\varphi_{\mathbf{x}} = \frac{4\pi e^2}{\epsilon_{\mathbf{x}}^2} [\exp(i\mathbf{x}\mathbf{r}^h) - \exp(i\mathbf{x}\mathbf{r}^e)]. \quad (5)$$

Статистическое усреднение (4) оператора эволюции (3) выполним, используя метод кумулянтных разложений [7] по взаимодействию  $V$  (5) в показателе экспоненты

$$\left\langle T \exp \left\{ \frac{i}{\hbar} \int_0^t V(t_1) dt_1 \right\} \right\rangle = T \exp\{g(t)\}. \quad (6)$$

Кумулянтная функция

$$g(t) = \sum_{n=1}^{\infty} \left( \frac{i}{\hbar} \right)^n \frac{1}{n!} \int_0^t dt_1 \dots \int_0^t dt_n \langle V(t_1) \dots V(t_n) \rangle_c, \quad (7)$$

играющая роль производящей функции семиинвариант  $\langle \dots \rangle_c$ , остается оператором  $e-h$  пары. Аналогично фейнмановской фазе влияния фононов на электроны [8] кумулянтная функция (7) является фазой влияния ЭДП на  $e-h$  пару и подчиняется тем же правилам упорядочения по времени. Если в случае электрон-фононной системы отличный от нуля вклад в фазу влияния дает только вторая кумулянта [8], то для ЭДП отличны от нуля все члены ряда (7), кроме первого ( $n=1$ ). Вторую кумулянту

$$g^{(2)}(t) = \left( \frac{i}{\hbar} \right)^2 \sum_{\mathbf{x}} \int_0^t dt_1 \int_0^{t_1} dt_2 \varphi_{\mathbf{x}}(t_1) \varphi_{\mathbf{x}}(t_2) \langle \rho_{\mathbf{x}}(t_1) \rho_{\mathbf{x}}(t_2) \rangle \quad (8)$$

вычислим точно с использованием флюктуационно-диссипационной теоремы [9]. По определению диэлектрической проницаемости  $\epsilon(x, \omega)$ , характеризующей отклик ЭДП на продольные возмущения, имеем

$$\frac{\epsilon_0}{\epsilon(x, \omega)} = 1 + \frac{4\pi}{x^2} F(x, \omega), \quad F(x, \omega) = \frac{1}{\hbar\epsilon_0} \times \\ \times \int_0^\infty \exp(i\omega t) [\rho_x(t_1) \rho_x(0)]. \quad (9)$$

Сравнивая выражение для функции отклика  $F(x, \omega)$  (9) с формулой для второй кумулянты (8), после несложных преобразований находим

$$\langle \rho_x(t_1) \rho_x(t_2) \rangle = \frac{\hbar x^2 \epsilon_0}{4\pi^2} \int_0^\infty T_\omega(t_1 - t_2) \operatorname{Im} \left\{ \frac{\epsilon_0}{\epsilon^*(x, \omega)} \right\} d\omega, \quad (10)$$

где введено обозначение

$$T_\omega(t) = n_\omega \exp(-i\omega t) + (n_\omega + 1) \exp(i\omega t), \quad n_\omega = [\exp(\lambda\hbar\omega) - 1]. \quad (11)$$

Кумулянты более высокого порядка имеют структуру, аналогичную нелинейным восприимчивостям, однако для них нет общих флюктуационно-диссипационных теорем. Тем не менее  $g^{(3)}$  и т. д. можно вычислить в приближении «свободных» электронов и дырок, если в гамильтониане  $\hat{H}$  (4) кулоновским взаимодействием можно пренебречь. Отметим, что приближение свободных электронов и дырок нельзя использовать при вычислении  $g^{(2)}$ , так как результат такого вычисления содержит расходимость в пределе  $x \rightarrow 0$  из-за множителя  $1/x^4$ .

Представление о плазмонах автоматически появляется, если для диэлектрической функции использовать предел длинных волн  $x \leq x_c$ ,

$$\operatorname{Im} \left\{ \frac{\epsilon_0}{\epsilon^*(x, \omega)} \right\} = \frac{\pi}{2} \omega_x \delta(\omega - \omega_x), \quad (12)$$

здесь  $\omega_x$  — частота длинноволнового плазмона с волновым вектором  $x$ . Величина  $x_c$ , вплоть до которой затуханием можно пренебречь, зависит от степени вырождения ЭДП. Подставляя выражение (12) в (8)–(10), можно легко получить вторую кумулянту, совпадающую с фазой влияния плазмонов, вычисленной с использованием метода коллективных переменных в работе [3]. Однако развитый здесь метод расчета позволяет учесть не только дальнодействующую часть кулоновского взаимодействия, которая ответственна за плазменные колебания, но и короткодействующую. Формулы (8)–(11) учитывают дисперсию и затухание плазмонов. Диагональный матричный элемент производящей функции вычислим с помощью метода кумулянт и ограничимся первым членом ряда

$$I_k(t) = \exp \{ \langle k | g^{(2)}(t) | k \rangle \}. \quad (13)$$

Для прямых межзонных переходов ( $\omega_{k-x} = \omega_k$ ) следующие члены кумулянтного ряда обращаются в нуль. Интегрирование по времени в (13) можно выполнить аналитически. Линейный по времени вклад в  $\langle k | g^{(2)}(t) | k \rangle$  определяет сдвиг ширины запрещенной зоны за счет кулоновского взаимодействия в ЭДП

$$\tilde{\omega}_g = \omega_g - \Delta\omega_g, \quad \Delta\omega_g = e^2/\hbar\epsilon_0 r_p = \frac{a}{2} \omega_p, \quad 1/r_p = (8\pi N e^2 / \epsilon_0 k_0 T_e)^{1/2}. \quad (14)$$

Для прямых переходов  $x \leq x_c$ , пренебрегая импульсом плазмона в пределе высоких температур  $k_0 T_e > \hbar\omega_p$ , для  $F(\omega)$  можно получить результат работы [3]. Полоса ЛМ [3] состоит из бесплазмонной линии (БПЛ)  $n=0$  и ее многоплазмонных повторений, имеющих максвелловскую форму.

Согласно [3], сдвиг зоны в длинноволновом приближении (12) равен  $\Delta\omega_g = a\omega_p/2$ , где  $a = 4e^2 x_c / (\pi\epsilon_0 \hbar\omega_p)$ . Для того чтобы этот результат и точное

выражение (14) совпадали, необходимо положить  $x_c = \pi / (2r_D)$ , т. е. оно того же порядка, что и величина  $x_c$ , использованная в работе [3]. Таким образом, многоплазмонные переходы обусловлены дальнодействующей частью кулоновского взаимодействия ( $x \leq 1/r_D$ ). При сильном плазмовыделении  $a > 1$  вкладом кумулянт  $g^{(3)}$  и более высокого порядка можно пренебречь. Формулы (1), (8), (13) позволяют не только получить для  $F(\omega)$  результат работы [3], но и учесть затухание и дисперсию плазмонов, включая затухание Ландау, а также непрямые переходы.

### 3. Обсуждение результатов

Согласно формуле (14), переход от связанных экситонных состояний  $e-h$  пар к свободной ЭДП происходит при условии  $\Delta\omega_g = \mu e^4 / 2h^3 \epsilon_0^2 = -e^2 / 2h^2 a_B$ , т. е. при  $r_D/a_B = 2$ . При электронной температуре  $T_e = 130$  К и концентрации электронно-дырочных пар  $N = 3.1 \cdot 10^{16}$  см<sup>-3</sup>, что соответствует  $\hbar\omega_p = 7.2$  мэВ при  $j = 15$  А/см<sup>2</sup>, отношение  $r_D/a_B \approx 1.5$  и связыванием электронов с дырками можно пренебречь. При  $N = (3-4) \cdot 10^{16}$  см<sup>-3</sup> и  $T_e = 130$  К ЭДП является невырожденной и смешиванием плазмонных и фононных мод можно пренебречь. Величину  $\hbar\Delta\omega_g$  сдвига, обусловленного межчастичным взаимодействием в ЭДП, можно оценить по формуле (14). Для  $N = 4.6 \cdot 10^{16}$  см<sup>-3</sup>  $\Delta E_g \approx 15.5$  мэВ и с хорошей точностью совпадает с величиной  $\Delta E_g$  (100 К) =  $E_g$  (100 К) -  $E'_g = 17$  мэВ, где  $E'_g = 2.358$  эВ — энергетическое положение бесплазмонного максимума при  $j = 15$  А/см<sup>2</sup> и  $T = 100$  К.

Среди механизмов, приводящих к уширению полосы ЛМ, можно выделить следующие:  
 1) прямые многоплазмонные переходы, 2) тепловой разброс электронов и дырок по энергиям,  
 3) дисперсия плазмонов, 4) за-

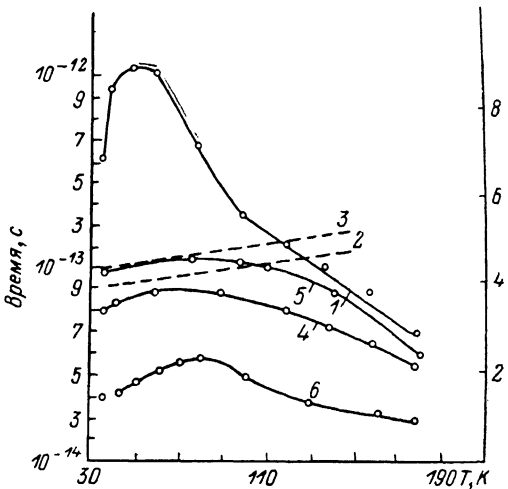


Рис. 3. Температурная зависимость  $\tau_\mu$ , рассчитанная из подвижности дырок в ZnTe [10] (1), времени  $\tau_{e-h}$  для холодной (2, 4) и разогретой (3, 5) ЭДП,  $\omega_p \tau$  (6).

тухание элементарных возбуждений в ЭДП, 5) непрямые многоплазмонные переходы. В пределе высоких температур  $T_e$  в [3] учтены только первые два эффекта. Покажем, что в условиях эксперимента (рис. 2) они являются основными. Действительно, при больших значениях константы плазмовыделения  $a = 3-5$  полоса ЛМ включает 10 повторений, отстоящих друг от друга на 7-8 мэВ. Именно многоплазмонная структура приводит к аномальной полуширине полосы (30-50 мэВ). Уширение каждого из максвелловских повторений обусловлено тепловым разбросом электронно-дырочных пар по энергиям  $\hbar\Delta\omega = 1.8k_0T_e$ . При выполнении неравенства

$$k_0T_e > \hbar\omega_p > \frac{\hbar}{\tau}, \quad \frac{1}{\tau} = \frac{1}{\tau_\mu} + \frac{1}{\tau_{e-h}} \quad (15)$$

дисперсией плазмонов и затуханием можно пренебречь, даже если дисперсия порядка 100 % и вносит вклад в полуширину  $\sim \hbar\omega_p$ . Здесь  $\tau_\mu$  — время релаксации, определяемое по подвижности, в которое вносит вклад рассеяние на фононах, примесях и т. д.;  $\tau_{e-h}$  характеризует  $e-h$  столкновения [2].

На рис. 3 представлены результаты расчета  $\tau$  (15) с использованием экспериментальных данных для  $\tau_\mu$  из работы [10] и с учетом столкновений

электронов и дырок [2]. Как видно (рис. 3), для ZnTe неравенство  $\omega_p \tau > 1$  выполняется в широкой области температур  $T = 30 \div 110$  К (кривая 6), совпадающей с температурным интервалом проявления многоплазмонной структуры. Максимальное значение  $\omega_p \tau = 2.25$ . Затуханием Ландау при  $x < 1/r_D$  также можно пренебречь.

Дисперсия плазмонов при малых значениях  $x \ll 1/r_D$  определяется уравнением

$$\omega_x^2 = \omega_p^2 \left\{ 1 + 6(xr_D)^2 \left[ (M/m_e)^2 + \left( \frac{M}{m_h} \right)^2 \right] \right\}. \quad (16)$$

Для определения влияния дисперсии нужно знать зависимость  $\omega_x$  от  $x$  во всей области изменения волновых векторов плазмонов. Однако основ-

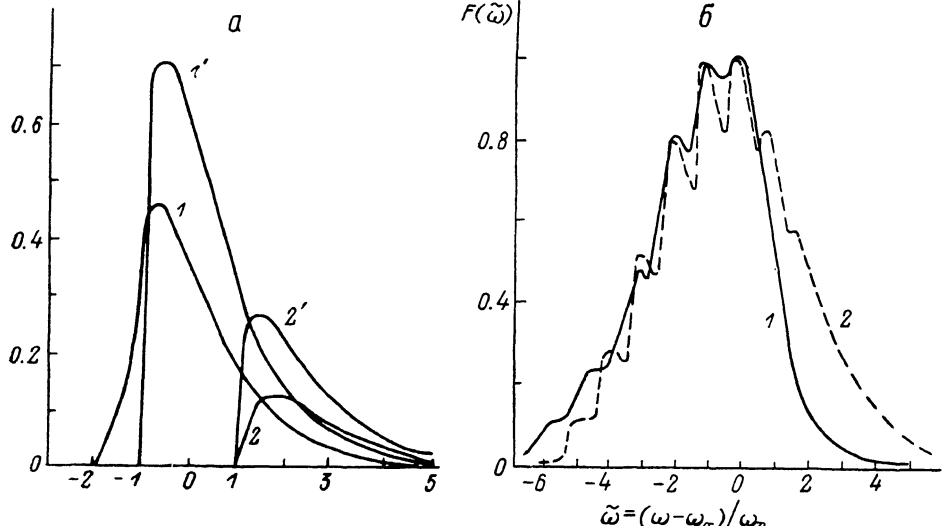


Рис. 4. Влияние дисперсии плазмонов на форму одноплазмонаных повторений (а) и многоплазмоная люминесценция (б).

а: 1 —  $F_{-1}(\omega)$  (18), 1' —  $F_{-1}^{(0)}(\omega)$ , 2 —  $F_1(\omega)$  (18), 2' —  $F_1^{(0)}(\omega)$ ,  $\beta = 1$ ; б: 1 — эксперимент при  $T_{\text{пем}} = 110$  К,  $j = 15$  А/см<sup>2</sup>,  $\hbar \omega_p = 7.6$  мэВ;  $N = 4.6 \cdot 10^{18}$  см<sup>-3</sup>; 2 — теоретическая полоса с учетом LO-фононного повторения,  $\beta = 0.9$ ,  $a = 2$ .

ные закономерности влияния дисперсии на форму повторений можно выяснить, используя модельный закон дисперсии

$$\omega_x = \omega_p [1 + 3(x/x_c)^2]^{1/2}. \quad (17)$$

Форм-функция одноплазмонаных повторений имеет вид ( $a < 1$ ,  $\beta = \hbar \omega_p / k_0 T_s$ )

$$F_{\pm 1}(\omega) = \exp(-\beta \tilde{\omega}) \int_0^1 [\omega \pm (1 + 3x^2)^{1/2}] \exp[\pm \beta/2 (1 + 3x^2)^{1/2}] \frac{dx}{1 + 3x^2}. \quad (18)$$

Если в подынтегральном выражении (18) положить  $x = 0$ , то  $F_{\pm 1}(\omega)$  (18) перейдет в  $F_{\pm 1}^{(0)}(\omega)$ , без учета дисперсии. Как видно из рис. 4, а, дисперсия плазмонов приводит к сдвигу порога ЛМ стоксового сателлита в длинноволновую область спектра и к сдвигу положений максимумов обоих повторений. Ширина повторений меняется пренебрежимо мало. Сдвиг максимумов можно учесть, заменив в  $F(\omega)$   $\omega_p$  на эффективную плазмонную частоту  $\tilde{\omega}_p > \omega_p$ .

Рассмотрим непрямые одноплазмонаные переходы в пределе слабой связи  $a < 1$ . Стоксовый сателлит имеет форму

$$F_{-1}(\omega) = \exp(-\beta \tilde{\omega}) \int_0^1 \frac{\left[ \tilde{\omega} + 1 - \frac{M^2}{m_e m_h} \frac{\beta}{2} x^2 \right]^{1/2} dx}{1 + \left( \frac{M}{m_e} \right)^2 \left( \frac{\beta}{2} \right)^2 x^4 - \beta \frac{M}{m_e} x^2 \left( 1 + \frac{2M}{m_e} \tilde{\omega} \right)}. \quad (19)$$

Это выражение получено без учета дисперсии в длинноволновом приближении (12) с  $x_c = 1/\sqrt{2}r_D$ . В пределе высоких температур  $\beta \ll 1$  переходы можно считать прямыми, и, полагая  $x=0$  в подынтегральном выражении (19), приходим к форм-функции  $F_{-1}^{(0)}(\omega) = (\omega + 1)^{1/2} \exp(-\beta\omega)$ . Численные расчеты  $F_{-1}(\omega)$  (19) показывают, что учет непрямых переходов приводит к сдвигу максимума сателлита в сторону больших частот и более крутыму спаду интенсивности излучения на коротковолновом крыле полосы ЛМ.

Форм-функция [3] получена без учета непрямых переходов и тем лучше соответствует эксперименту, чем выше температура ЭДП.

С другой стороны, неравенство  $\beta \ll 1$  может быть сильным, так как в этом случае сателлиты перекрываются, многоплазменная структура полосы ЛМ не разрешается. Так, кривая на рис. 4, а соответствует  $T_e = 130$  К,  $\hbar\omega_p = 7.6$  мэВ и  $\beta = 0.9$ .

На форму крыльев полосы ЛМ оказывают влияние *LO*-фононныe повторения полосы ЛМ. Коэффициент поглощения света свободными зонными электронами и дырками с одновременным поглощением *LO*-фонона впервые был рассчитан в работах [11, 12]. На рис. 4, б представлены результаты расчета форм-функции спектра излучения с учетом *LO*-фононного повторения полосы ЛМ, которое приводит к поднятию длинноволнового крыла полосы ЛМ и позволяет улучшить согласие теории с экспериментом. Теоретические и экспериментальные кривые согласуются по числу плазменных повторений, которое зависит от величины константы плазмовыделения  $a$ . Добиться лучшего согласия между теорией и экспериментом на коротковолновом крыле полосы, по-видимому, можно при учете непрямых переходов.

Таким образом, полученные нами экспериментальные и теоретические результаты позволяют сделать вывод о том, что при высоких уровнях возбуждения излучение и поглощение в ЭДП эпитаксиальных пленок ZnTe имеют многоплазменную природу.

В заключение выражаем благодарность В. А. Коварскому, С. А. Москаленко, И. П. Звягину за обсуждение работы и критические замечания.

#### Список литературы

- [1] Вавилов В. С., Клюканов А. А., Сенокосов Э. А., Руссу В. Г., Чукичев М. В. // Тез. докл. XI Всес. конф. по физике полупроводников. Кишинев, 1988. Т. 1. С. 24.
- [2] Ву Зоан Мъен, Сенокосов Э. А., Стойкова В. Г., Усатый А. Н., Чукичев М. В. // ФТП. 1985. Т. 19. № 9. С. 1571—1576.
- [3] Вавилов В. С., Клюканов А. А., Сенокосов Э. А., Чиботару Л. Э., Чукичев М. В. // ФТП. 1988. Т. 30. № 2. С. 614—617.
- [4] Bohm D., Pines D. // Phys. Rev. 1953. V. 92. N 3. P. 609—625.
- [5] Вардаински В. // Лит. физ. сб. 1974. Т. 14. Б. 2. С. 327—333.
- [6] Kubo R. // J. Phys. Soc. Jap. 1957. V. 12. N 3. P. 570—591.
- [7] Kubo R. // J. Phys. Soc. Jap. 1962. V. 17. N 7. P. 1100—1123.
- [8] Feynman R. P., Hellwarth R. W., Iddings C. K., Platzman P. M. // Phys. Rev. 1962. V. 127. N 6. P. 1004—1016.
- [9] Зубарев Д. Н. // УФН. 1960. Т. 71. № 1. С. 70—91.
- [10] Larsen T. L., Stevenson D. A. // J. Appl. Phys. 1973. V. 14. N 2. P. 843—847.
- [11] Dumke W. // Phys. Rev. 1957. V. 108. N 12. P. 1419—1425.
- [12] Чайковский И. А. // ФТП. 1972. Т. 6. № 1. С. 3—10.

Кишиневский государственный  
университет им. В. И. Ленина  
Кишинев

Поступило в Редакцию  
12 января 1989 г.  
В окончательной редакции  
26 апреля 1989 г.